

# ИССЛЕДОВАНИЕ КРИСТАЛЛИЧЕСКОЙ И МАГНИТНОЙ СТРУКТУР МАНГАНИТА $\text{Pr}_{0,7}\text{Ba}_{0,3}\text{MnO}_3$ ПРИ ВЫСОКОМ ДАВЛЕНИИ

*Д. П. Козленко<sup>а</sup>, Т. А. Чан<sup>а</sup>, С. Е. Кичанов<sup>а,1</sup>, А. В. Труханов<sup>б</sup>,  
С. В. Труханов<sup>б</sup>, Б. Н. Савенко<sup>а</sup>*

<sup>а</sup> Объединенный институт ядерных исследований, Дубна

<sup>б</sup> НПЦ НАН Белоруссии по материаловедению, Минск

Методом нейтронной дифракции исследованы атомная и магнитная структуры манганита  $\text{Pr}_{0,7}\text{Ba}_{0,3}\text{MnO}_3$  при высоких давлениях до 5,1 ГПа в диапазоне температур 10–300 К. При нормальном давлении и температуре  $T_C = 200$  К в  $\text{Pr}_{0,7}\text{Ba}_{0,3}\text{MnO}_3$  формируется ферромагнитное (ФМ) состояние. При высоких давлениях  $P \geq 1,9$  ГПа и  $T < T_N \approx 153$  К наблюдается возникновение нового антиферромагнитного (АФМ) состояния А-типа. Воздействие высокого давления приводит к росту  $T_C$  с величиной  $dT_C/dP \approx 2,4$  К/ГПа. Возможной причиной появления АФМ-фазы А-типа в  $\text{Pr}_{0,7}\text{Ba}_{0,3}\text{MnO}_3$  при высоких давлениях может являться анизотропное одноосное сжатие кислородных октаэдров вдоль оси  $b$  орторомбической структуры.

The crystal and magnetic structures of manganite  $\text{Pr}_{0,7}\text{Ba}_{0,3}\text{MnO}_3$  have been studied by means of neutron diffraction at high pressure up to 5.1 GPa in temperature range 10–300 K. At ambient pressure and temperature  $T_C = 200$  K the ferromagnetic (FM) state formed in  $\text{Pr}_{0,7}\text{Ba}_{0,3}\text{MnO}_3$ . At high pressure  $P \geq 1.9$  GPa and  $T < T_N \approx 153$  K the contribution of new antiferromagnetic (AFM) phase has been observed. The pressure induced growing of  $T_C$  with baric coefficient  $dT_C/dP \approx 2.4$  K/GPa has been observed. The possible reason of pressure induced A-type AFM phase appearing in  $\text{Pr}_{0,7}\text{Ba}_{0,3}\text{MnO}_3$  is anisotropic compression of oxygen octahedra along  $b$ -axis in orthorhombic structure.

PACS: 75.47.Lx

Перовскитоподобные манганиты  $\text{A}_{1-x}\text{A}'_x\text{MnO}_3$  (А — редкоземельный, А' — щелочно-земельный элемент) проявляют большое разнообразие физических свойств в зависимости от типа А-, А'-элементов и степени легирования  $x$ . Сильная корреляция магнитных, электронных и транспортных свойств манганитов приводит к их высокой чувствительности к внешним воздействиям — изменению температуры, приложению магнитных полей и высокого давления. Ярким примером является эффект колоссального магнетосопротивления, наблюдаемый в манганитах [1].

---

<sup>1</sup>E-mail: ekich@nf.jinr.ru

Магнитные свойства манганитов определяются балансом двух конкурирующих взаимодействий — двойного обмена, связанного с выигрышем в кинетической энергии за счет переноса делокализованных электронов  $e_g$  в цепочках  $\text{Mn}^{3+}-\text{O}^{2-}-\text{Mn}^{4+}$  и способствующего ферромагнитному (ФМ) упорядочению магнитных моментов Mn, и антиферромагнитного (АФМ) сверхобмена между магнитными моментами Mn, сформированными локализованными электронами  $t_{2g}$  [1, 2]. В соединениях с относительно большими значениями среднего радиуса катионов  $\langle r_A \rangle$ :  $\text{R}_{1-x}\text{Sr}_x\text{MnO}_3$ ,  $\text{R}_{1-x}\text{Ba}_x\text{MnO}_3$  ( $R = \text{La}, \text{Pr}, \text{Nd}$ ) при концентрациях  $0,2 < x < 0,5$  двойной обмен является доминирующим взаимодействием, что приводит к переходу из парамагнитного диэлектрического в ферромагнитное металлическое состояние при температуре Кюри, примерно равной температуре перехода диэлектрик–металл,  $T_C = T_{\text{IM}}$ . Максимальное значение  $T_C$  ( $T_{\text{IM}}$ ) достигается при уровне допирования  $x \sim 0,3-0,35$  и падает с уменьшением  $\langle r_A \rangle$  [1, 2].

Исследования последних лет показали, что воздействие внешнего высокого давления приводит к значительным изменениям физических свойств манганитов. Установлено [3, 4], что приложение высокого давления значительно изменяет точку фазового перехода  $T_C$  ( $T_{\text{IM}}$ ) с максимальной величиной коэффициента  $dT_C/dP \sim 43$  К/ГПа для барий-допированных манганитов  $\text{Pr}_{1-x}\text{Ba}_x\text{MnO}_3$  [3]. Следует отметить, что эти экспериментальные данные по барий-допированным манганитам получены с помощью исследований их макросвойств (сопротивления, намагниченности и т.п.), в то время как прямые исследования изменений в кристаллической структуре и связанных с ними изменений в магнитной подсистеме этого класса манганитов практически не проводились.

Настоящая работа посвящена исследованию влияния внешнего давления на атомную и магнитную структуры манганита  $\text{Pr}_{0,7}\text{Ba}_{0,3}\text{MnO}_3$  в области низких температур методом нейтронной дифракции и изучению взаимосвязи между наблюдаемыми структурными изменениями и изменениями магнитных свойств.

Кристаллические образцы  $\text{Pr}_{0,7}\text{Ba}_{0,3}\text{MnO}_3$  были приготовлены стандартным методом твердофазной реакции [5]. Стехиометрические смеси порошков  $\text{Pr}_6\text{O}_{11}$ ,  $\text{Mn}_2\text{O}_3$  и карбоната  $\text{Ba}_2\text{CO}_3$  отжигались на воздухе при температуре 1000 К в течение 2 ч. Окончательный синтез был проведен на воздухе при  $T = 1550$  °С в течение 2 ч с промежуточным дроблением и прессованием в таблетки.

Эксперименты по нейтронной дифракции проводились на спектрометре ДН-12 [6] импульсного высокопоточного реактора ИБР-2 (ЛНФ им. И. М. Франка, ОИЯИ, Дубна) с использованием камер высокого давления с сапфировыми наковальнями [7] в диапазоне внешних высоких давлений до 4,5 ГПа и температур 10–300 К. Анализ дифракционных данных производился методом Ритвельда с помощью программы FullProf [8].

Участки нейтронных дифракционных спектров  $\text{Pr}_{0,7}\text{Ba}_{0,3}\text{MnO}_3$ , полученных при различных давлениях и температурах, представлены на рис. 1. Во всем исследуемом интервале давлений 0–5,1 ГПа и температур 10–300 К атомная структура этого соединения сохраняет исходную орторомбическую симметрию с пространственной группой  $\text{Imma}$ . Полученные зависимости параметров элементарной ячейки от давления представлены на рис. 2, а. Рассчитанные линейные сжимаемости  $k_i = -(1/a_{i0})(da_i/dP)_T$  (для  $a_i = a, b, c$ ) параметров элементарной ячейки при  $T = 295$  К ( $k_a = 0,0011$ ,  $k_b = 0,0026$ ,  $k_c = 0,0019$  ГПа<sup>-1</sup>) близки к величинам, полученным для других манганитов [4].

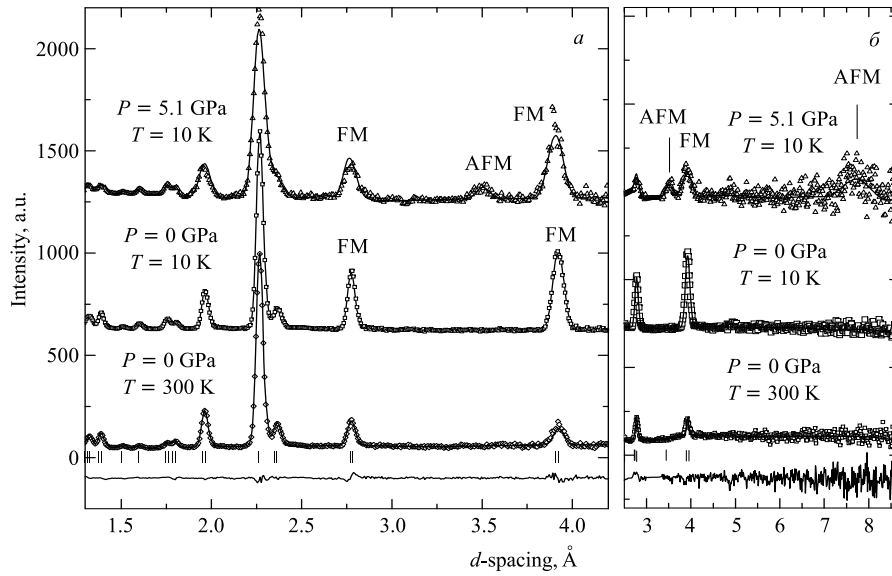


Рис. 1. Дифракционные спектры  $\text{Pr}_{0,7}\text{Va}_{0,3}\text{MnO}_3$ , измеренные при  $P = 0$  и 5,1 ГПа,  $T = 10$  и 300 К для углов рассеяния  $2\theta = 90^\circ$  (а) и  $2\theta = 45,5^\circ$  (б), обработанные по методу Ритвельда. Показаны экспериментальные точки, расчетный профиль и разностная кривая (для  $P = 5,1$  ГПа,  $T = 300$  К). Вертикальными штрихами указаны рассчитанные положения структурных дифракционных пиков. Наиболее интенсивные пики АФМ и пики с ФМ-вкладом помечены «AFM» и «FM» соответственно

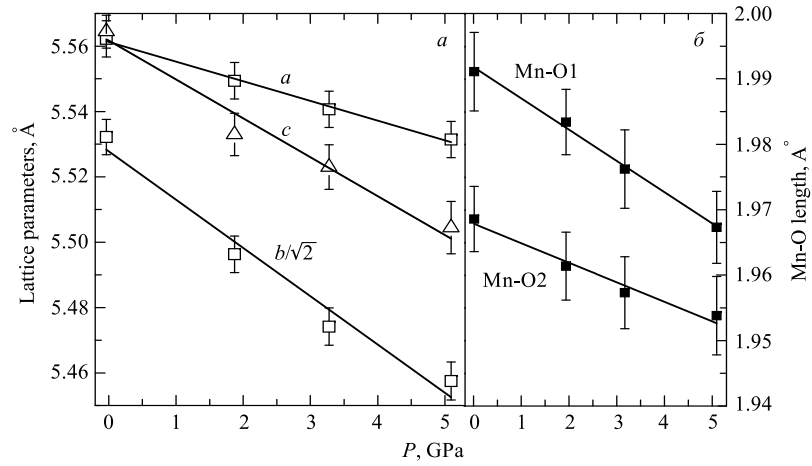


Рис. 2. а) Зависимость параметров элементарной ячейки  $\text{Pr}_{0,7}\text{Va}_{0,3}\text{MnO}_3$  от давления и их линейная интерполяция. б) Зависимость длин связей Mn-O1 и Mn-O2 в  $\text{Pr}_{0,7}\text{Va}_{0,3}\text{MnO}_3$  от давления и их линейная интерполяция

Кислородные октаэдры  $\text{MnO}_6$  содержат две пары неэквивалентных связей  $\text{Mn-O}$  —  $\text{Mn-O1}$ , направленную вдоль оси  $b$ , и  $\text{Mn-O2}$ , расположенную в плоскости  $ac$ . С увеличением давления наблюдается анизотропное сжатие связей  $\text{Mn-O}$  (рис. 2, б), приводящее к одноосному сжатию кислородных октаэдров вдоль оси  $b$ . Коэффициент линейной сжимаемости длин связей  $k_i = -(1/l_{\text{Mn-O}_i})(dl_{\text{Mn-O}_i}/dP)_T$  ( $i = 1, 2$ ) при  $T = 300$  К имеет максимальное значение для связи  $\text{Mn-O1}$ ,  $k_1 = 0,0023$  ГПа $^{-1}$ , а соответствующие величины для связей  $\text{Mn-O2}$  несколько меньше,  $k_2 = 0,0014$  ГПа $^{-1}$ .

При температуре ниже  $T_C = 200$  К наблюдалось увеличение интенсивности дифракционных пиков (200)/(002)/(121) и (101)/(020) (рис. 1, а), указывающее на формирование ФМ-состояния в  $\text{Pr}_{0,7}\text{Ba}_{0,3}\text{MnO}_3$ . Величина упорядоченного магнитного момента марганца составляет  $\mu_{\text{FM}} = 3,6(1)$   $\mu_B$  при  $T = 10$  К. С увеличением давления наблюдается почти линейное возрастание  $T_C$  с величиной  $dT_C/dP \approx 2,4$  К/ГПа, а магнитный момент марганца составляет  $\mu_{\text{FM}} = 2,4(5)$   $\mu_B$  при давлении  $P = 5,1$  ГПа и низкой температуре.

При высоком давлении  $P = 1,9$  ГПа с понижением температуры наблюдалось появление новых магнитных рефлексов на  $d_{hkl} \sim 7,71$  и  $3,51$  Å (рис. 1, а, б). Анализ экспериментальных данных показал, что новые магнитные пики соответствуют появлению АФМ-фазы с упорядочением А-типа [9]. Магнитные моменты  $\text{Mn}$  в такой АФМ-структуре лежат в плоскостях  $ac$ , они ориентированы параллельно друг другу в пределах этих плоскостей и меняют направление на противоположное в соседних плоскостях, перпендикулярных оси  $b$  орторомбической структуры. С увеличением давления наблюдалось возрастание интенсивности АФМ-рефлексов и уменьшение ФМ-вклада в ядерные рефлексы, что свидетельствовало об увеличении объемной доли АФМ-фазы. Рассчитанное значение упорядоченного магнитного момента марганца в этой АФМ-фазе составляет  $\mu_{\text{AFM}} = 1,8(1)$   $\mu_B$  при  $T = 10$  К и  $P = 1,9$  ГПа. Расчетная температура Нееля для этих условий составляет  $T_N = 153(1)$  К.

Возможной причиной появления АФМ-фазы А-типа в  $\text{Pr}_{0,7}\text{Ba}_{0,3}\text{MnO}_3$  при высоких давлениях может являться анизотропное одноосное сжатие кислородных октаэдров вдоль оси  $b$  орторомбической структуры (рис. 2, б). В этом случае происходит преимущественное заселение орбиталей  $d(x^2 - z^2) e_g$  ионов  $\text{Mn}$ , которое приводит к уменьшению обменного интеграла между ближайшими соседями в направлении одноосного сжатия, что создает предпочтительные условия для формирования АФМ-состояния А-типа [9].

Работа выполнена при поддержке гранта МД-696.2010.2, гранта РФФИ № 09-02-00311-а и госконтракта № 02.740.11.0542.

#### СПИСОК ЛИТЕРАТУРЫ

1. Dagotto E., Hotta T., Moreo A. // Phys. Rep. 2001. V. 344, No. 1.
2. Zener C. // Phys. Rev. 1951. V. 82. P. 403.
3. Trukhanov S. V. et al. // J. Magn. Magn. Mater. 2001. V. 237. P. 276.
4. Kozlenko D. P., Savenko B. N. // J. Phys.: Condens. Matter. 2004. V. 16. P. 9031.
5. Jirak Z. et al. // J. Magn. Magn. Mater. 1985. V. 53. P. 153.

56 Козленко Д. П. и др.

6. *Aksenov V. L. et al.* // *Physica B*. 1999. V. 265. P. 258.

7. *Глазков В. П., Гончаренко И. Н.* // *Физика и техника высоких давлений*. 1991. Вып. 56, № 1.

8. *Rodriguez-Carvajal J.* // *Physica B*. 1993. V. 192. P. 55.

9. *Fang Z., Solovyev I. V., Terakura K.* // *Phys. Rev. Lett.* 2000. V. 84. P. 3169.